

В.С. Шаманаев, И.Э. Пеннер

ЛАЗЕРНОЕ ЗОНДИРОВАНИЕ ВЕРХНЕГО СЛОЯ МОРЯ САМОЛЕТНЫМ ЛИДАРОМ С УЧЕТОМ МАЛОУГЛОВОГО ПРИБЛИЖЕНИЯ

Предложено в малоугловом приближении уравнение лазерного зондирования верхнего слоя моря с борта самолета. Оценен диапазон изменчивости лидарного сигнала при вариациях различных параметров системы «лидар — море». Получено выражение для определения показателя ослабления излучения. Оценена его точность. Применимость предложенной методики проиллюстрирована экспериментальными данными.

Проведение экспериментов по лазерному зондированию светорассеивающей системы «нижний слой атмосферы — верхний слой океана» с борта летательных аппаратов стало относительно регулярным явлением. Но если в задачах исследования атмосферы лидарами достигнут значительный прогресс в плане интерпретации полученных эхо-сигналов, то в задаче гидрооптического зондирования успехи в этом направлении значительно скромнее [1].

Как правило, исходя из уравнения лазерного зондирования (УЛЗ) в приближении однократного рассеяния и применяя формулу логарифмической производной сигнала, используют следующее выражение для показателя ослабления излучения в воде:

$$\varepsilon = - \frac{n}{2(z_2 - z_1)} \ln \frac{F(z_2) \left(H + \frac{z_2}{n} \right)^2}{F(z_1) \left(H + \frac{z_1}{n} \right)^2}, \quad (1)$$

где $F(z_i)$ — мощность эхо-сигнала, пришедшего на приемник лидара с глубины z_i ; H — высота нахождения лидара над поверхностью моря; n — показатель преломления воды. $\varepsilon = \sigma + \kappa$, т.е. ε в воде равен сумме показателей рассеяния и поглощения.

Можно также определять показатель поглощения κ , исходя из асимптотики диффузационного приближения уравнения переноса излучения [2]. Лидар в этом случае должен принимать сигналы при больших полях зрения и с достаточно больших глубин. Тогда

$$\kappa = - \frac{n}{2(z_2 - z_1)} \ln \frac{F(z_2) \left(H + \frac{z_2}{n} \right)^{5/2}}{F(z_1) \left(H + \frac{z_1}{n} \right)^{5/2}}. \quad (2)$$

В обоих случаях предполагается, что значения σ и κ постоянны в диапазоне глубин $z_1 - z_2$. В то же время промежуточный режим практически не анализируется. Метод Монте-Карло дает только численные результаты. В этом ключе полезно вновь обратиться к малоугловому приближению (МУП). Метод МУП является приближенным, но имеет аналитическое представление и поэтому удобен для анализа.

В работе [3] приведено УЛЗ для лидара, размещенного непосредственно на поверхности воды и облучающего ее δ -импульсом,

$$F(t) = \frac{1}{2\pi} \varepsilon^2 \sigma \chi_0 \frac{c}{n} S_0 W \frac{\exp \left[- (1 - \Lambda) \varepsilon \frac{c}{n} t \right]}{\left(\frac{b^4 \varepsilon}{\theta} \right)^2 + \left(\varepsilon \frac{c}{n} t \right)^2 + \frac{2\Lambda \left(\varepsilon \frac{c}{n} t \right)^3}{3 \left(a \frac{\theta}{2} \right)^2}}, \quad (3)$$

где t — время от момента вспышки лазера; c — скорость света в вакууме; S_0 — площадь приемного телескопа лидара; χ_0 — индикаторика рассеяния назад при условии нормировки всей индикаторики на 4π ; W — энергия излучения лазера в δ -импульсе; Λ — вероятность выживания фотона, ($\Lambda = \sigma/\varepsilon$); θ — угол поля зрения приемного телескопа; b — расстояние между оптическими осями лазера и приемного телескопа; a — параметр аппроксимации индикаторики рассеяния. Для воды при малых углах рассеяния хорошо выполняется аппроксимация $x(\gamma) \sim \gamma^{-1} \exp(-\alpha\gamma)$, где γ — угол рассеяния. Уравнение (3) применимо при значительном превышении угла поля зрения над углом расходимости излучателя и условии $t > c^{-1} n b \operatorname{ctg}(\Theta/4)$. Преобразуем его к случаю, когда лидар расположен на высоте H над

водой, учитывая следующее. Показатель обратного рассеяния $\sigma_{\Pi} = \frac{1}{4\pi} \sigma x_0$ при нормировке индикаторы на единицу. Вводится импульс реальной длительности Δt и мощности F_0 и $\Delta r = c\Delta t/2$. Для лидара с совмещенной оптической схемой $b = 0$. Вынесенная из знаменателя (3) величина $(ct/n)^2$ заменяется на $(H + z/n)^2$ согласно [4] и описывает фотометрическое ослабление излучения на трассе «атмосфера—точка с глубиной z под водой». Правое слагаемое знаменателя (3), описывающее индикаторные эффекты только в водной части трассы зондирования, заменяется на $\frac{2\Lambda}{3n} \frac{\varepsilon z}{(\alpha\theta_{\Pi})^2}$. В свою очередь

$\Theta_{\Pi}(z) = \arctg \left[\frac{\theta}{2} \left(\frac{H}{z} + \frac{1}{n} \right) \right]$ — угол поля зрения, редуцированный к поверхности воды от глубины z в соответствии с [5]. В итоге получаем, что

$$F(z) = \frac{F_0 S_0 \Delta r T^2}{n \left(H + \frac{z}{n} \right)^2} \beta_{\Pi} \Lambda \varepsilon \frac{\exp \left(-2 \frac{1-\Lambda}{n} \varepsilon z \right)}{1 + \frac{4\Lambda}{3n} \frac{\varepsilon z}{(\alpha\theta_{\Pi})^2}}, \quad (4)$$

где T^2 — коэффициент, учитывающий френелевские потери по границе воздух—вода; $\beta_{\Pi} = \sigma_{\Pi}/\sigma$ — лидарное отношение.

Уравнение зондирования воды, основанное на тех же исходных условиях, получено в работе [6], но его конечный вид отличается от (4).

Для оценки особенностей и диапазона изменчивости сигнала $F(z)$ при вариациях параметров системы «лидар—море» были проведены расчеты по (4). В УЛЗ такого вида входят три априорные характеристики: β_{Π} , Λ , a . В [7] обобщены данные по Λ и a . Поэтому расчеты выполнялись для $\Lambda = 0,65 \div 0,85$ и $a = 5 \div 8$. В этой же работе [7] приведены экспериментальные корреляционные отношения между общим показателем рассеяния и показателем рассеяния при фиксированном угле. При дополнительной обработке этих данных и экстраполяции до угла рассеяния 180° было получено усредненное значение $\beta_{\Pi} = 0,0175 \text{ см}^{-1}$.

Расчеты величин сигналов выполнялись для лидара, имеющего лазер с длиной волны $\lambda = 530 \text{ нм}$; мощность импульса $F_0 = 1 \cdot 10^6 \text{ Вт}$; длительность импульса $\tau = 10 \text{ нс}$; высоты над уровнем моря 100; 200; 400 и 600 м; угол поля зрения 10; 20 и 30 мрад; площадь приемного телескопа $S_0 = 5 \cdot 10^{-2} \text{ м}^2$.

Полученные результаты приведены на рис. 1–3. Роль показателя ослабления задается экспоненциальным множителем в (4) и в силу простоты не анализируется. Во всех случаях сигналы с учетом МУП превышают таковые для однократного рассеяния.

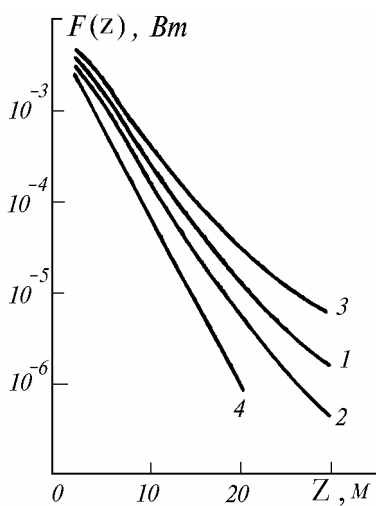


Рис. 1. Сигналы лидара, рассчитанные в маловысотном приближении для $H = 200 \text{ м}$, $\Theta = 10 \text{ мрад}$, $\varepsilon = 0,3 \text{ м}^{-1}$, $a = 7$. 1 — $\Lambda = 0,75$; 2 — $\Lambda = 0,65$; 3 — $\Lambda = 0,85$; 4 — расчет в приближении однократного рассеяния

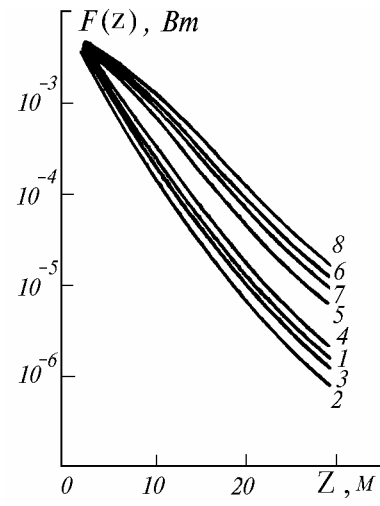


Рис. 2. Сигналы лидара, рассчитанные при $H = 200 \text{ м}$, $\Lambda = 0,75$, $\varepsilon = 0,3 \text{ м}^{-1}$. Для $\Theta = 10 \text{ мрад}$: 1 — $a = 7$; 2 — $a = 5$; 3 — $a = 6$; 4 — $a = 8$. Для $a = 7$: 5 — $\Theta = 20 \text{ мрад}$; 6 — $\Theta = 30 \text{ мрад}$. Для $\Theta = 30 \text{ мрад}$: 7 — $a = 6$; 8 — $a = 8$

В табл. 1 указаны отклонения значений сигналов $F(z)$ от исходных при вариациях соответствую-

щих параметров, входящих в УЛЗ. В графах 2, 3, 4 рассмотрено влияние параметров морской воды. Заметна важная роль вероятности выживания фотона Λ на величину сигнала, так как она связана с истинным поглощением в воде κ . Возрастанию параметра a соответствует рост вытянутости индикаторы рассения в направлении вперед, т.е. и соответствующее изменение доли многократного рассеяния.

Таблица 1

Влияние изменения параметров УЛЗ на величину лидарного сигнала

$z, \text{ м}$	$\Delta\Lambda = \pm 0,1$	$\Delta a = \pm 1$	$\Delta\epsilon = \pm 0,1 \text{ м}^{-1}$	$\Delta\Theta = +20 \text{ мрад}$	$\Theta = 10 \text{ мрад (200 \%)} \text{}$		
	$\Lambda = 0,75$ (13%)	$a = 7$ (14%)	$\epsilon = 0,3 \text{ м}^{-1}$ (33%)	$H = 100 \text{ м}$	$H = 200 \text{ м}$	$H = 600 \text{ м}$	
5	+36 -36	-13 +9	-1 -10	151	45	6	
20	+145 -145	-32 +35	-110 +106	804	615	231	

Увеличение угла поля зрения лидара также ведет к возрастанию эхо-сигнала за счет добавки многократного рассеяния. Однако чем выше находится лидар над водой, тем относительно слабее это проявляется. Такая интересная зависимость отчетливо видна в графах 5, 6, 7 табл. 1.

Что касается расположения лидара на разных расстояниях от воды, то нетривиальный результат представляет рис. 3 (кривые 1–4). На некоторой глубине величины эхо-сигналов $F(z)$ независимо от высоты H начинают стягиваться к одним и тем же значениям. Тенденция эта сохраняется и для больших полей зрения (кривые 5–6). Это свидетельствует о возрастании доли МКР излучения в сигнале за счет увеличения объема рассеяния в воде. Этот эффект нивелирует уменьшение интенсивности лидарного отклика за счет влияния фактора $(H + z/n)^2$ при увеличении высоты расположения лидара.

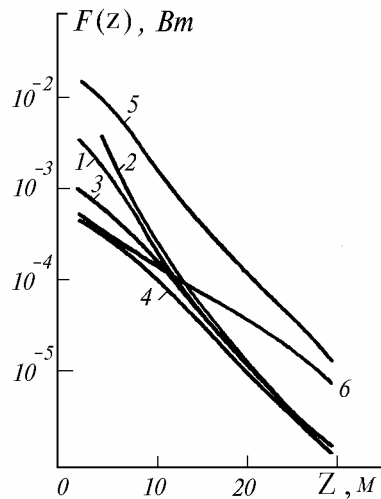


Рис. 3. Сигналы лидара, рассчитанные при $\epsilon = 0,3 \text{ м}^{-1}$, $\Lambda = 0,75$, $a = 7$. Для $\Theta = 10 \text{ мрад}$: 1 – $H = 200 \text{ м}$; 2 – $H = 100 \text{ м}$; 3 – $H = 400 \text{ м}$; 4 – $H = 600 \text{ м}$. Для $\Theta = 30 \text{ мрад}$: 5 – $H = 100 \text{ м}$; 6 – $H = 600 \text{ м}$.

Приведем УЛЗ (4) к более общему виду.

$$S(z) = \frac{\epsilon \exp(-2\xi\epsilon z)}{1 + \kappa y \epsilon z},$$

где

$$S(z) = \frac{nF(z) \left(H + \frac{z}{n} \right)^2}{F_0 S_0 \Delta r \beta_n \Lambda T^2}; \quad \xi = \frac{1 - \Lambda}{n}; \quad (5)$$

$$y = \frac{1}{[a\theta_n(z)]^2}; \quad \kappa = \frac{4}{3} \frac{\Lambda}{n}.$$

Дифференцируя (5) по z , получим

$$S' + \kappa \varepsilon (S'y z + S y' z + S y) = -2 \varepsilon^2 \xi \exp(-2 \xi \varepsilon z). \quad (6)$$

Подставим в правую часть (6) выражение для $\varepsilon \exp(-2 \xi \varepsilon z)$ из (5) и получим следующее уравнение:

$$\varepsilon^2 + \left[\frac{S'}{S} \cdot \frac{1}{2 \xi} + \frac{y'}{y} \cdot \frac{1}{2 \xi} + \frac{1}{2 \xi z} + \frac{1}{\kappa y z} \right] \varepsilon + \frac{S'}{S} \cdot \frac{1}{2 \kappa \xi y z} = 0. \quad (7)$$

Показатель ослабления ε является решением данного квадратного уравнения, т.е.

$$\varepsilon = \frac{1}{2} (-p + \sqrt{p^2 - 4q}), \quad (8)$$

где

$$p = \frac{n}{2(1-\Lambda)} \left\{ [\ln F(z)]' + \frac{2}{nH+z} - 2 [\ln \theta_n(z)]' + \frac{1}{z} + \frac{3}{2} \frac{1-\Lambda}{\Lambda} \frac{1}{z} [\alpha \theta_n(z)]^2 \right\}; \quad (9)$$

$$q = \left\{ [\ln F(z)]' + \frac{2}{nH+z} \right\} \frac{3n^2}{8\Lambda(1-\Lambda)} \cdot \frac{1}{z} [\alpha \theta_n(z)]^2. \quad (10)$$

Для заднего фронта лидарного эхо-сигнала, т.е. на его спадающем участке, где $S'(z)/S(z) < 0$, действительное решение вида (8) существует всегда, так как всегда $q < 0$. Подрадикальное выражение необходимо использовать в его положительном значении, так как величины $\varepsilon < 0$ являются нефизическими. При этом для исследованного диапазона изменения параметров системы «лидар—море» скобка в (8) является положительной.

Решение уравнения лазерного зондирования в малоугловом приближении в виде (8)–(10) достаточно простое и наглядное. Недостатком данного метода является необходимость использования сразу двух априорных параметров: Λ и α .

Оценим погрешность восстановления ε , учитывая только неточности априорного задания Λ и α . Вычислительные погрешности, которые связаны с соотношением сигнал—шум и с численным дифференцированием и которые могут быть уменьшены статистическими методами, рассматривать в данном исследовании не будем. Погрешностями измерения расстояния z , величины поля зрения Θ и другими пренебрежем. Аналитические выражения для погрешностей измерений этих параметров громоздки и не репрезентативны. В связи с этим для оценки погрешностей, обусловленных неточностью априорного задания Λ и α , был использован численный метод. Из расчетных сигналов $F(z)$, полученных для различного набора параметров, по формулам (8)–(10) были восстановлены значения ε , но с использованием фиксированных значений $\Lambda = 0,75$ и $\alpha = 7$. Численное дифференцирование сигналов осуществлялось в диапазоне глубин 5–10 м. Для уменьшения связанных с ним погрешностей использовались расчетные данные с максимальной вычислительной точностью. Глубина z , входящая в (9) и (10) в выражения для p и q , бралась в середине диапазона глубин, т.е. при $z = 7,5$ м. Результаты сведены в табл. 2. Для сравнения приведены величины $\varepsilon^{(1)}$.

Очевидно, что однократное приближение занижает получаемые значения ε . Чем выше вода или чем меньше высота расположения лидара и его угол поля зрения, тем ближе восстановленный показатель ослабления к истинному. Чувствительность восстановленного с учетом МУП значения ε к исходным искажениям Λ и α оказывается различной для их примерно одинаковых относительных отклонений от истинных значений. Используя в (8) $\Lambda = 0,75$ при «истинных» значениях 0,65 и 0,85 ($\Delta\Lambda = +15 \div -12\%$), получаем отклонения $\delta\varepsilon = -22 \div +9\%$, т.е. отклонения асимметричные и противоположные по знаку. 13%-ное отклонение $\Delta\alpha$ от заданного в расчете значения $\alpha = 6$ или $\alpha = 8$ до априорно выбранного при восстановлении $\alpha = 7$ дает отклонения $\Delta\varepsilon$ противоположного знака, и они отличаются по абсолютной величине. Дальнейшее уменьшение α до значения 5 увеличивает отклонение ε от «истинного» значения до +21%. Можно сказать, что с точки зрения абсолютных погрешностей опаснее занижать априорное значение Λ и завышать априорное значение α .

Таблица 2

Значения показателя ослабления ε , восстановленные по (8) – (10),
относительные отклонения $\delta\varepsilon$ от исходного значения,
значение $\varepsilon^{(1)}$, восстановленное по (1)

Показатели ослабления		Параметры системы «лидар – море»					
		$H=200 \text{ м}; \Theta=10 \text{ мрад}$			$\varepsilon=0,20 \text{ м}^{-1}$		
$a=7$	$\Lambda=0,65$	$\varepsilon=0,30 \text{ м}^{-1}$		$a=5$	$a=6$	$a=8$	$a=7$
		$\Lambda=0,75$	$\Lambda=0,85$				$\Lambda=0,75$
$\varepsilon, \text{м}^{-1}$ МУП	0,278	0,233	0,326	0,364	0,318	0,245	0,185
$\delta\varepsilon, \%$	-7	-22	9	21	6	-18	-7
$\varepsilon^{(1)}, \text{м}^{-1}$ однокр.	0,24	0,22	0,26	0,28	0,26	0,22	0,19
							0,28
				$a=7;$	$\Lambda=0,75;$	$\varepsilon=0,30 \text{ м}^{-1}$	
$H=200 \text{ м}$		$H=100 \text{ м}$			$H=400 \text{ м}$	$H=600 \text{ м}$	
$\Theta=20 \text{ мрад}$	$\Theta=30 \text{ мрад}$	$\Theta=10 \text{ мрад}$	$\Theta=30 \text{ мрад}$	$\Theta=10 \text{ мрад}$	$\Theta=10 \text{ мрад}$	$\Theta=10 \text{ мрад}$	$\Theta=30 \text{ мрад}$
$\varepsilon, \text{м}^{-1}$ МУП	0,290	0,297	0,260	0,284	0,287	0,326	0,303
$\delta\varepsilon, \%$	-3	-1	-13	5	-4	9	1
$\varepsilon^{(1)}, \text{м}^{-1}$ однокр.	0,16	0,12	0,30	0,19	0,15	0,12	0,08

Необходимо отметить, что в целом методика определения ε с учетом поправок на малоугловое рассеяние света дает меньшие погрешности (несмотря на использование дополнительной априорной информации о свойствах воды), чем обычно применяемая методика однократного рассеяния [8]. Тщательная экспериментальная проверка предложенной методики требует проведения натурного лазерного зондирования в контролируемых условиях. Это сложный эксперимент, который предполагается

выполнить в ближайшем будущем. На данном этапе рассмотрим материалы, имеющие иллюстративный характер.

В полетах над различными акваториями использовались самолетные лидары, описанные в [9, 10]. Для регистрации поляризационных компонентов сигналов применены микро-ЭВМ и аналого-цифровой преобразователь с периодом квантования сигналов 25 нс. Временное окно, в котором АЦП измеряет амплитуду сигнала, 3 нс.

Зондирование производилось на удалении до 500 км от берега моря и вблизи береговой линии на высотах полета 100–450 м. Угол поля зрения лидара устанавливался от 8 до 20 мрад. Независимые измерения показателя ослабления не выполнялись, однако восстановленные по (8) – (10) значения ε (при $\Lambda = 0,75$ и $\alpha = 7$) в одном из полетов составили $0,49 \text{ m}^{-1}$ и $0,25 \text{ m}^{-1}$. Эти значения являются вполне реальными. Вариации Λ и α в рассмотренных ранее пределах не приводят к выходу ε за границы разумных значений. Отметим, что упрощенная процедура (1) дает в описанной выше ситуации $\varepsilon^{(1)}$, равный $0,26$ и $0,18 \text{ m}^{-1}$.

Таким образом, предложенный алгоритм определения показателя ослабления воды с учетом малоуглового приближения является вполне работоспособным, особенно в тех условиях, когда режим зондирования не позволяет использовать приближение однократного рассеяния. Несмотря на погрешности, вносимые использованием априорной информации о вероятности выживания фотона и ширине малоугловой части индикаторов рассеяния, восстанавливаются более точные значения ε , чем по приближению однократного рассеяния.

1. Зуев В. Е. —Болг. физ. ж., 1987, т. 14, №2, с. 196–205.
2. Зеге Э. П., Иванов А. П., Каргин Б. А., Кацев И. Л. —Изв. АН СССР. ФАО, 1971, т. 7, №7, с. 750–757.
3. Долин Л. С., Савельев В. А. —Изв. АН СССР. ФАО, 1971, т. 7, №5, 505–510.
4. Половинко В. В. Оптические неконтактные методы исследования мирового океана. —М.: Недра, 1984. 168 с.
5. Левин И. М. —Изв. АН СССР. ФАО, 1986, т. 22, №12, с. 1328–1332.
6. Фейгельс В. И. — В кн.: Проблемы лазерного аэрозондирования поверхности Земли. (Тез. докл. Всес. семинара—совещания). —Ташкент: Изд. Таш. ПИ, 1984, с. 17–18.
7. Иванов А. П. Физические основы гидрооптики. —Минск: Наука и техника, 1975. 504 с.
8. Steinveil O., Klevebrant H., Alexander J., Widen A. —Appl. Optics, 1981, v. 20, №18, p. 3284–3286.
9. Шаманаев В. С., Абрамочкин А. И. —Изв. вузов. Физика. Деп. в ВИНИТИ, №6222–85 Деп.
10. Абрамочкин А. И., Занин В. В., Пеннер И. Э., Тихомиров А. А., Шаманаев В. С. —Оптика атмосферы, 1988, т. 1, №2, с. 92–96.

Институт оптики атмосферы СО АН СССР, Томск

Поступила в редакцию 28 марта 1988 г.

V. S. Shamaev, I. E. Penner. **Airborne Lidar Sounding of Upper Sea Layer Taking into Account Small-Angle Approximation.**

A lidar equation for airborne laser sounding of the upper sea layer based on the small-angle approximation is proposed. The lidar intensity range for variations of certain parameters characterizing the «lidar-sea» system is estimated. An expression for the attenuation factor is derived and its accuracy evaluated. The utility of the proposed approach is confirmed by the experimental evidence.